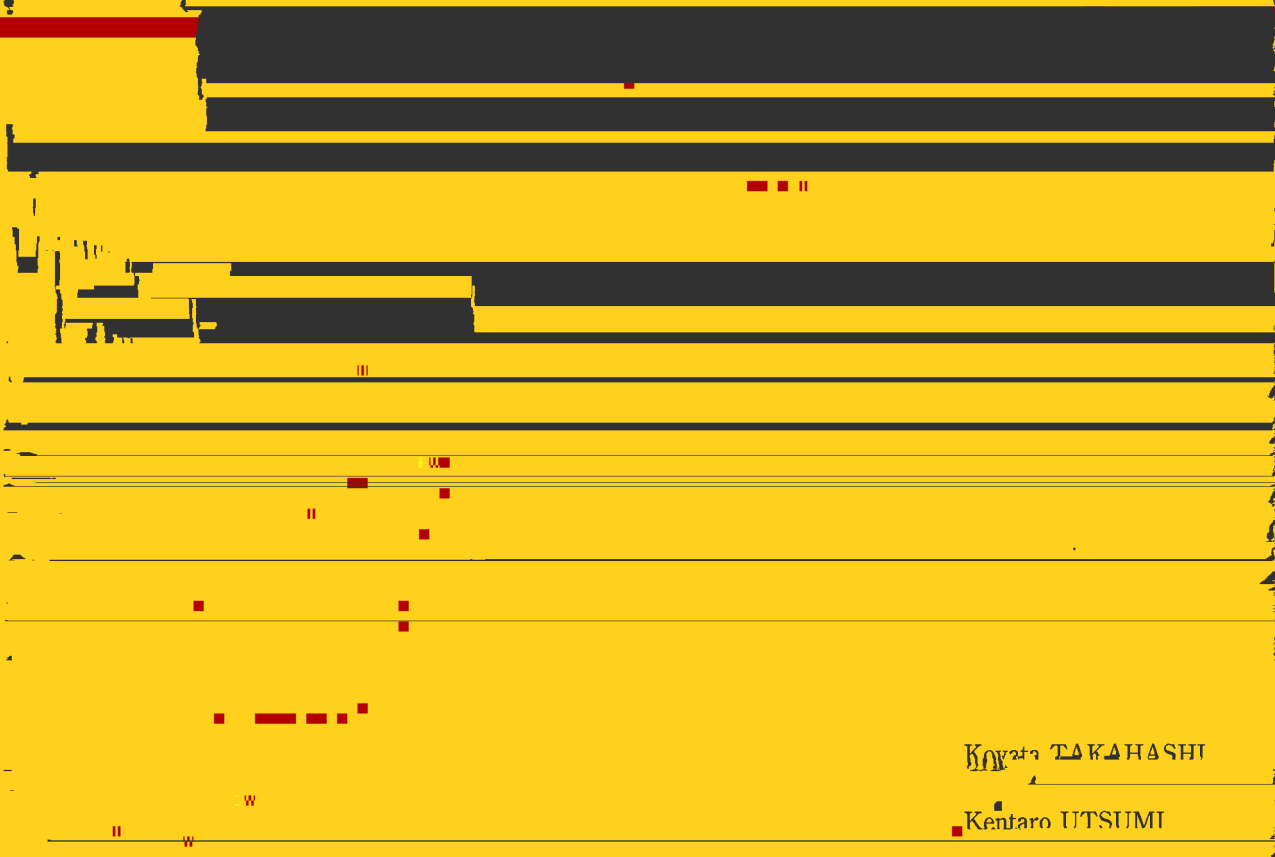


高内 橋 小 弥 太
近 海 藤 健 郎
大 昭 夫

III

Development of a $\text{Sr}^{2+}\text{Zn}^{2+}\text{Ca}^{2+}\text{F}$ Electroluminescent Thin Film Device



Koyata TAKAHASHI
Kentaro UTSUMI



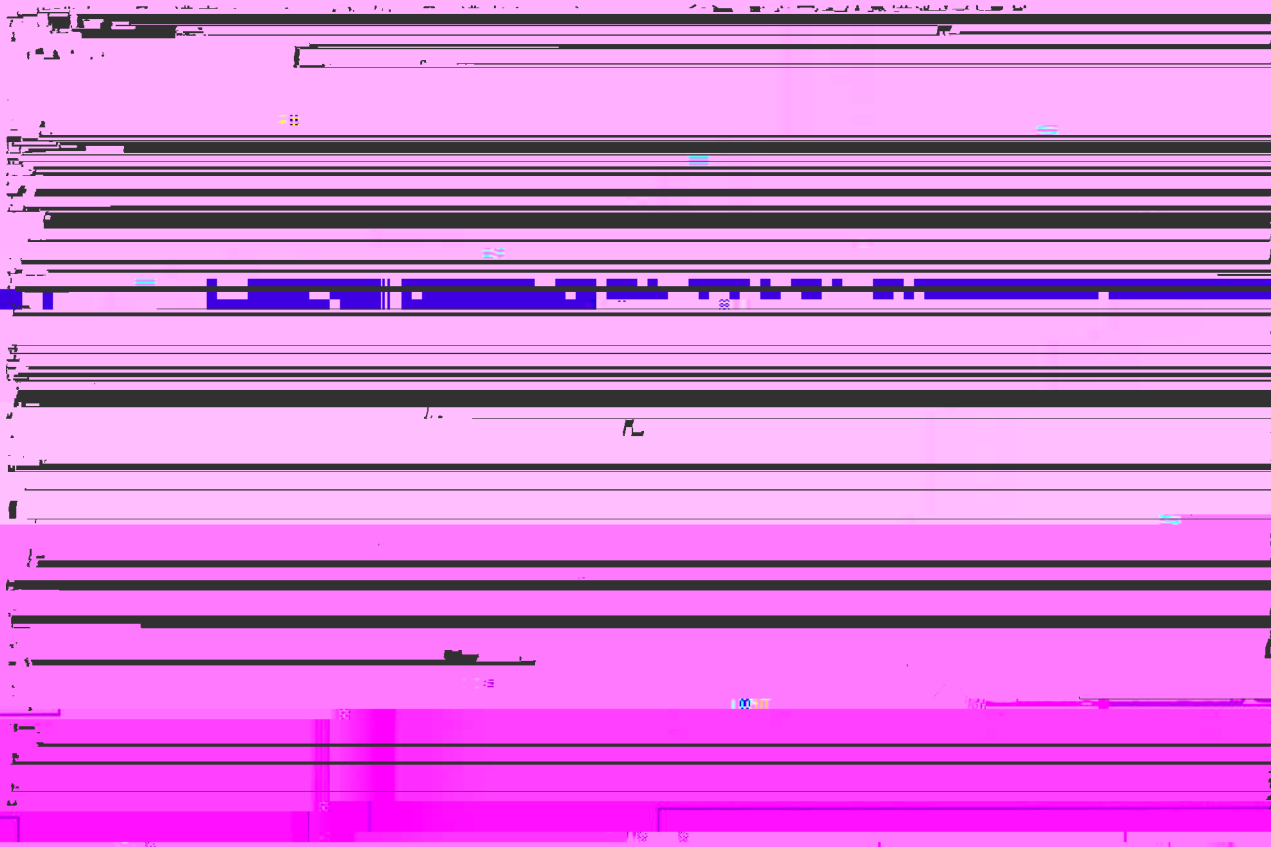
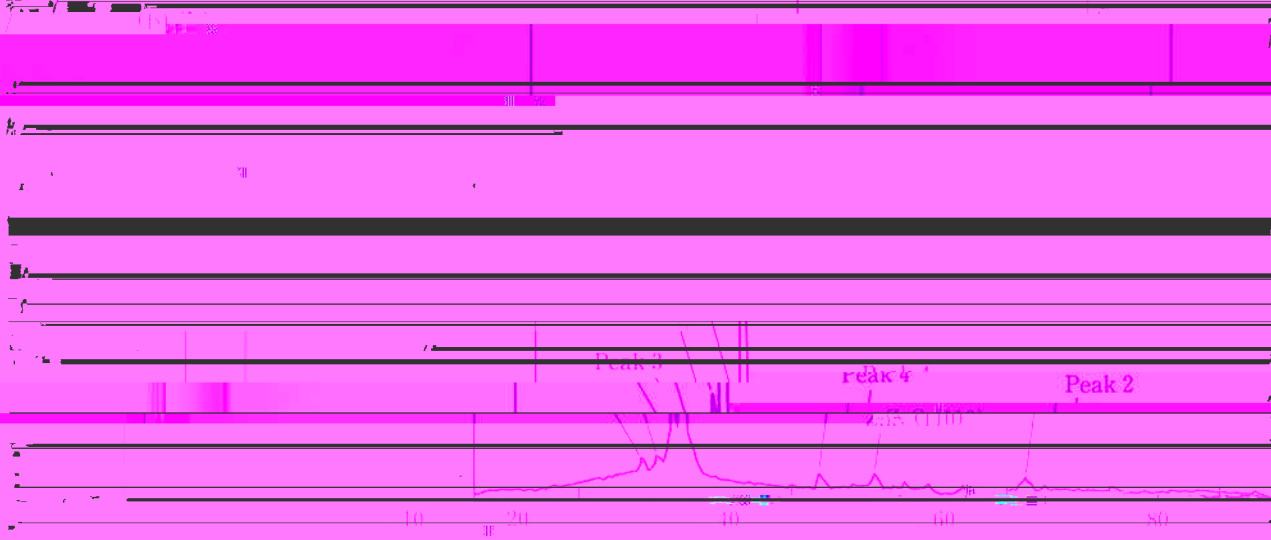
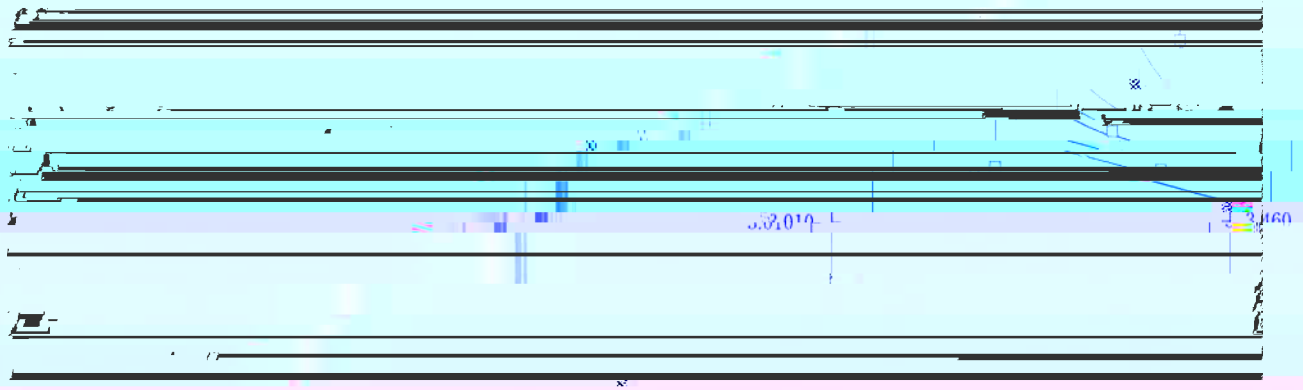


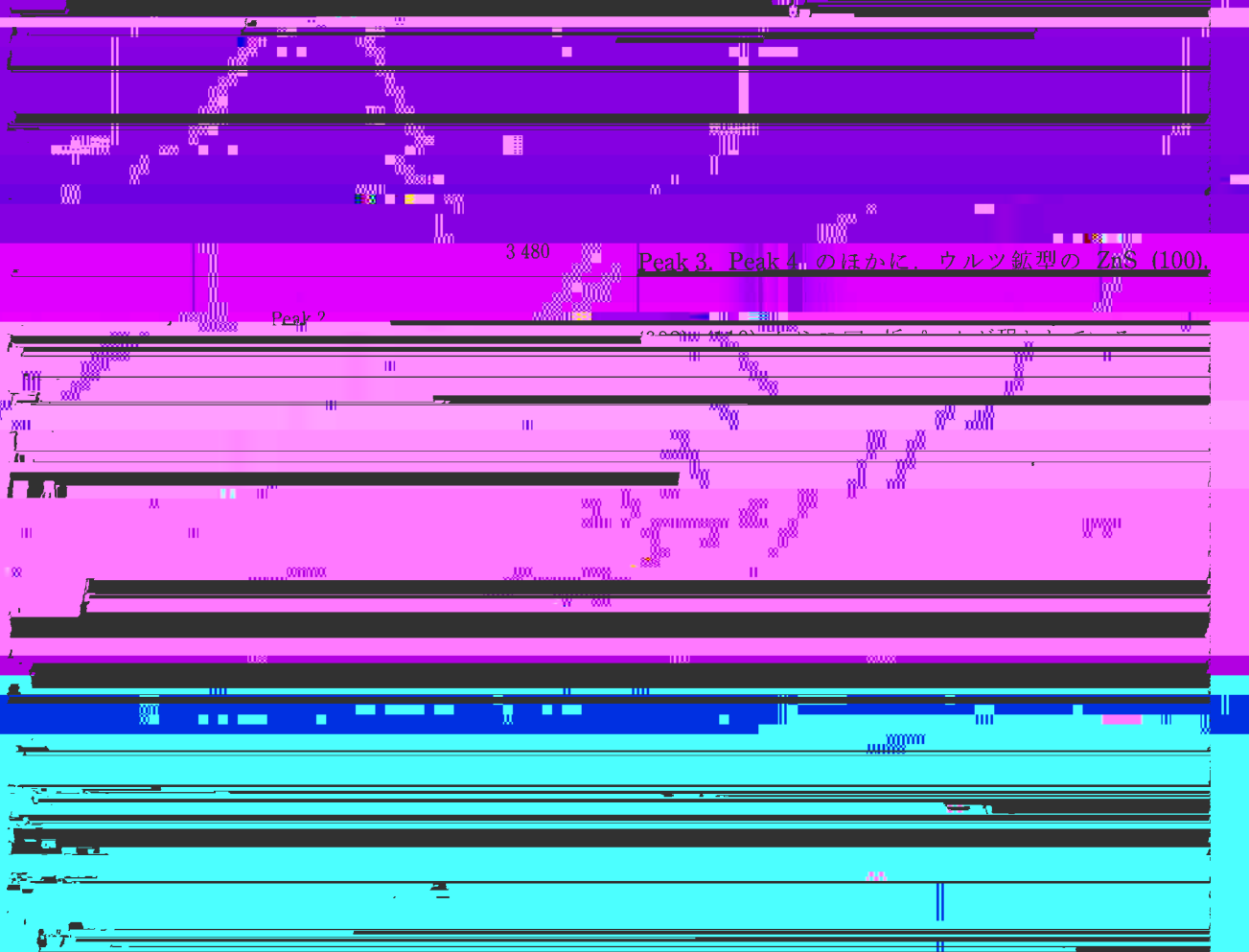
Figure 3: XRD pattern with a sharp peak at approximately 35 degrees 2-theta, indicating a crystalline phase. The text below the plot reads: "CuO と ZnO の間では 2θ が約 35° の位置に CuO の結晶相の出現を示している。"

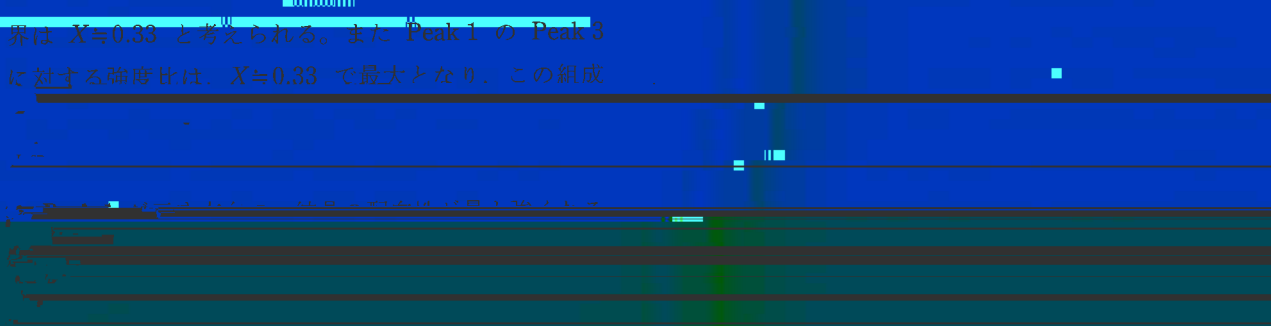
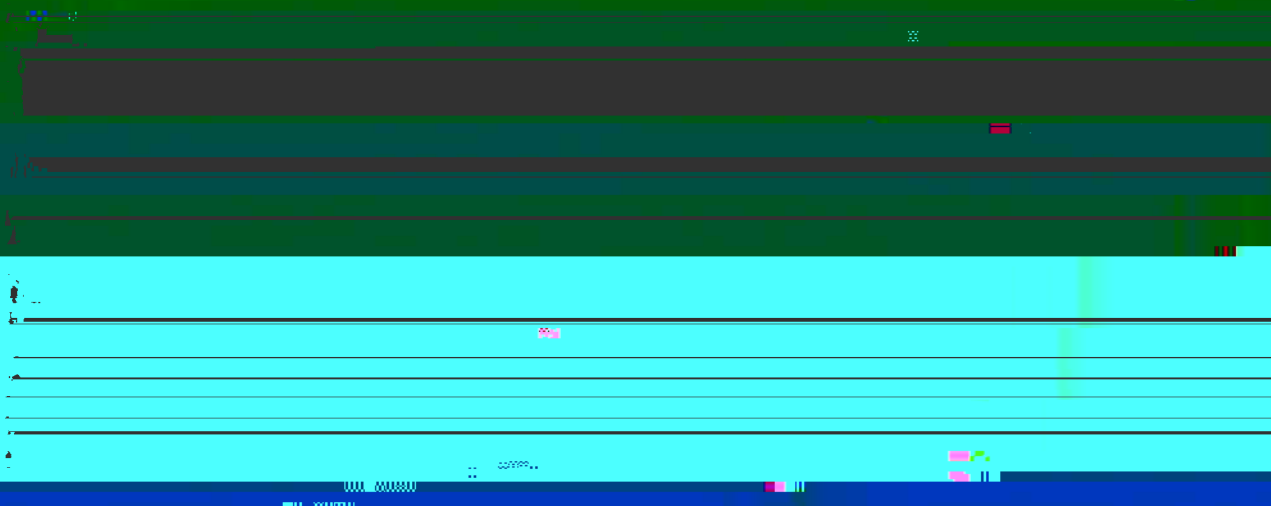
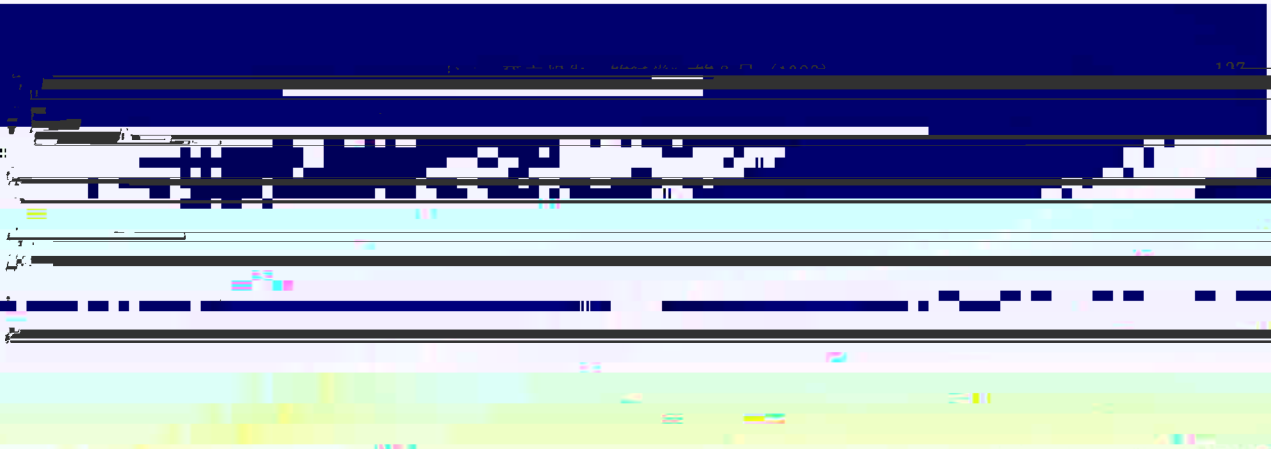


ターンである。X=0.31 の場合、特に明瞭なピークは、



Peak 3, Peak 4 のほかに、ウルツ鉱型の ZnS (100),





界は $X=0.33$ と考えられる。また Peak 1 の Peak 3 に対する強度比は、 $X=0.33$ で最大となり、この組成



Fig. 10 Schematic diagram of the device structure



Fig. 11 Energy band diagram of the device

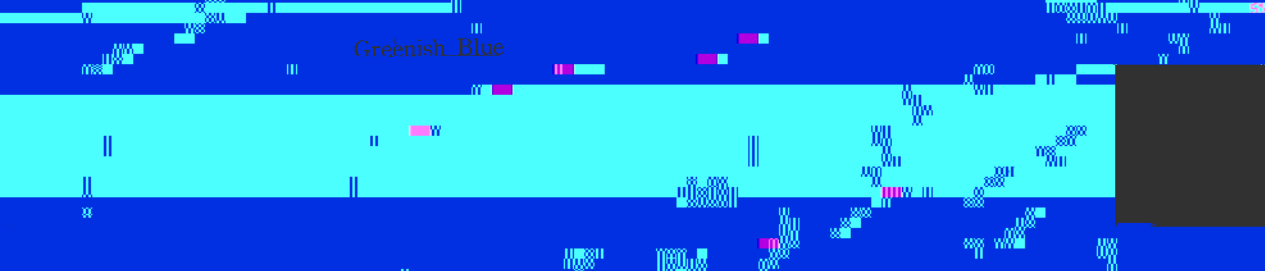


Fig. 12 Photocurrent spectra of the device

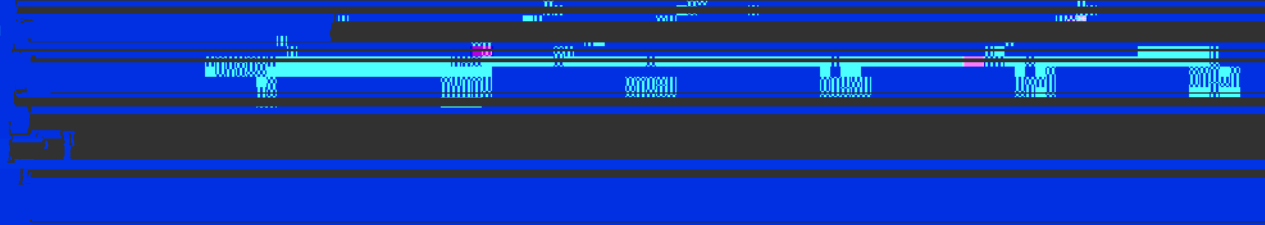


Fig. 13 Photocurrent spectra of the device for different X values



Fig. 14 Photocurrent spectra of the device for different X values

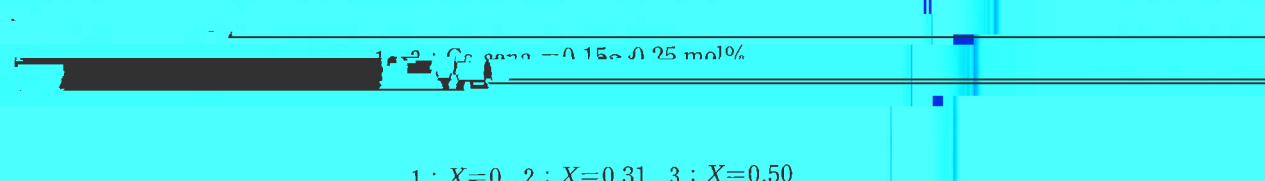
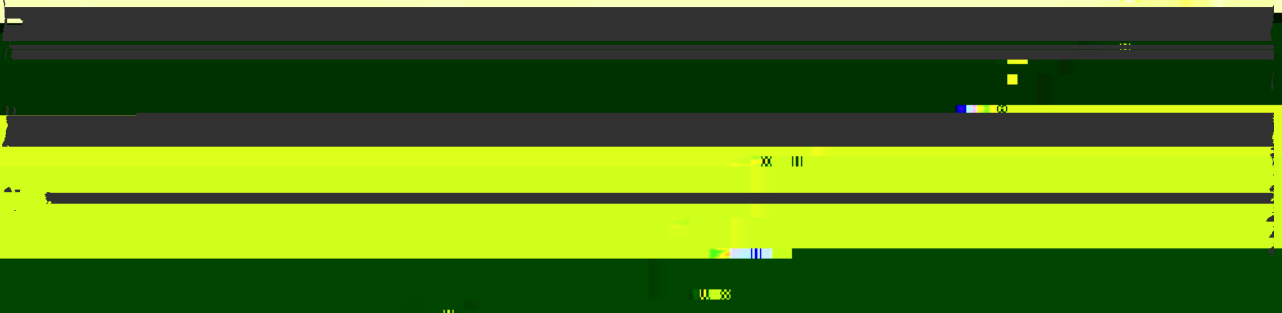


Fig. 15 Photocurrent spectra of the device for different X values



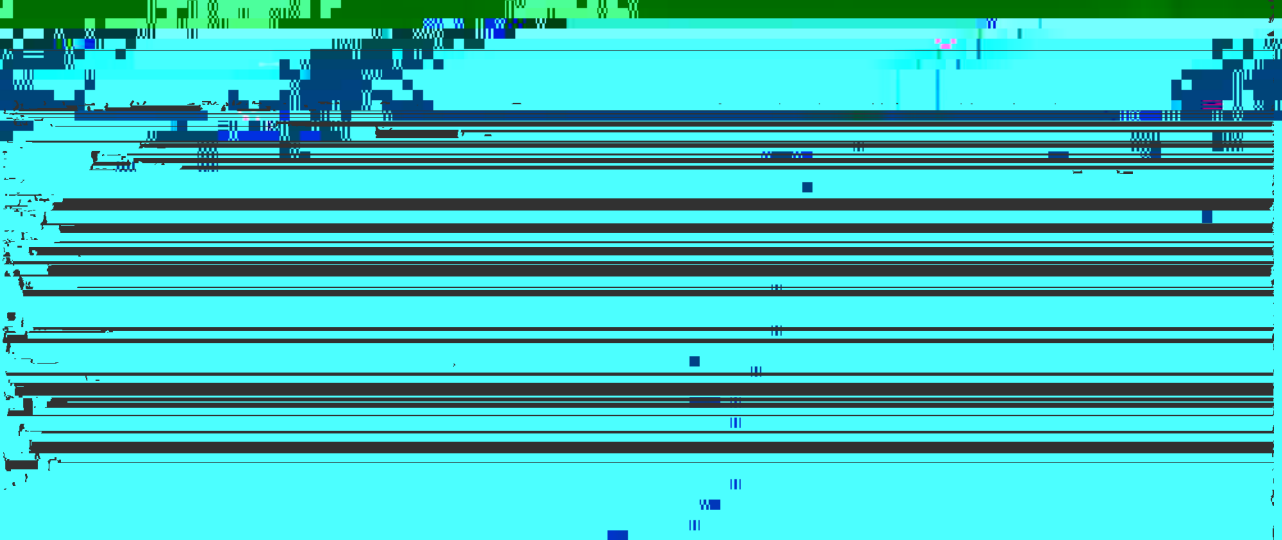
Fig. 16 Photocurrent spectra of the device for different X values



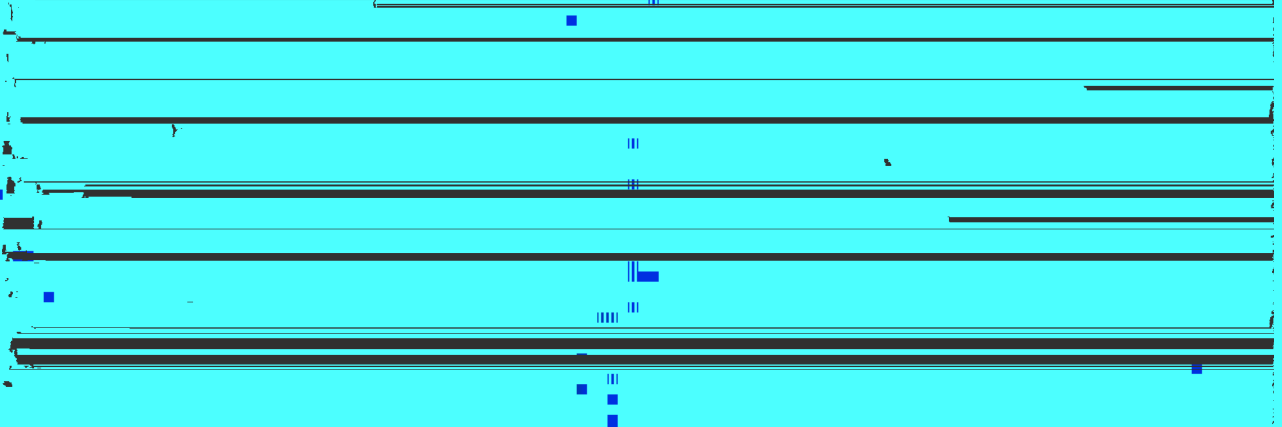
トル多色麻紙に挽管)を比較した。(Fig. 13) Y が十(1) Se₂S₇ S₂ O₂ D 蒸気は 用添阻具 (Y: 0.22) / 4



トル多色麻紙に挽管)を比較した。(Fig. 13) Y が十(1) Se₂S₇ S₂ O₂ D 蒸気は 用添阻具 (Y: 0.22) / 4



トル多色麻紙に挽管)を比較した。(Fig. 13) Y が十(1) Se₂S₇ S₂ O₂ D 蒸気は 用添阻具 (Y: 0.22) / 4



トル多色麻紙に挽管)を比較した。(Fig. 13) Y が十(1) Se₂S₇ S₂ O₂ D 蒸気は 用添阻具 (Y: 0.22) / 4